

Код МРНТИ 55.35.99

Б.С. Бейсенов, К.К. Елемесов, Бортебаев С.А., *Е.Е. Сарыбаев
Satbayev University (г. Алматы, Казахстан)

АУЫР РОТОРЛЫ ЖАБДЫҚТЫҢ НЕГІЗГІ ЖЕТЕГІНІҢ БӨЛІГІ РЕТИНДЕ ПНЕВМАТИКАЛЫҚ ІСКЕ ҚОСУ ҚҰРЫЛҒЫСЫНЫҢ ЭНЕРГЕТИКАЛЫҚ-ҚУАТТЫҚ ПАРАМЕТРЛЕРИН ЗЕРТТЕУ

Аннотация. Тау-кен металургия кешенінің көсіпорындарында ауыр роторлы жабдықты іске қосу мәселесі түнді болып табылады. Үлкен инерциялық масасы бар жабдықты пайдалану кезінде іске қосу режимдері ен колайсыз режимдер болып табылады. Жабдықтың бұл түрін іске қосу кезінде іске қосу құрылғыларына жүктемелердің бірнеше есе артуы байкалады, бұл олардың ресурсының төмендеуіне, электр қозғалтқышының істен шығуына, электр энергиясының пайдалану шығындарының жоғарылауына және т.б. алып келеді. Бұл макалада ауыр роторлы машиналардың іске қосу тогының мөлшеріне соңғы ажыратқышты орналастыру нұктесінің және жүйедегі қысымының асерін зерттеу мақсатында тіреуішті іске қосу құрылғысының стендтік сыйнартының нәтижелері көлтірілген. Иске қосу тогының сильфон цилиндрінің құсындағы артүрлі қысымдардағы жылжымалы траекториядағы соңғы қосыншты орнату нұктесін тәуелділігінің графикалар алынды.

Түйінді сөздөр: шарлы дірмен, іске қосу тогы, рейкалы құрылғы, сильфонды баллон, 3 камералы, сильфон, көмекі жетек.

Research of energy-power parameters of pneumatic balloon starting device as a part of the main drive of equipment with heavy rotor

Abstract. At the enterprises of the mining and metallurgical complex, there is a problem of starting equipment with a heavy rotor. When operating equipment with a large inertial mass, the most unfavorable modes are the starting modes. During the start-up of this type of equipment, there is a multiple excess of loads on the starting devices, which leads to a failure of the electric motor, increased operating costs for electricity, etc. This article presents the results of bench tests of a rack-and-pinion starting device, in order to study the influence of the location point of the limit switch and the pressure in the system on the value of the starting current of machines with a heavy rotor. Graphs of the dependence of the inrush current on the installation point of the limit switch on the sliding trajectory at different pressures in the cavity of the bellows cylinder are obtained.

Key words: ball mill, starting current, rack and pinion device, bellows cylinder, 3-chamber bellows, auxiliary drive.

Исследования энергосиловых параметров пневмобаллонного пускового устройства в составе главного привода оборудования с тяжелым ротором

Аннотация. На предприятиях горно-металлургического комплекса существует проблема пуска оборудования с тяжелым ротором. При эксплуатации оборудования с большой инерционной массой наиболее неблагоприятными режимами являются пусковые режимы. Во время пуска такого вида оборудования наблюдается кратное превышение нагрузок на пусковые устройства, что приводит к снижению их ресурса, выход из строя электродвигателя, повышенные эксплуатационные затраты на электроэнергию и т.д. В данной статье представлены результаты стендовых испытаний реечного пускового устройства с целью исследования влияния точки размещения конечного выключателя и давления в системе на величину пускового тока машин с тяжелым ротором. Получены графики зависимости пускового тока от точки установки конечного выключателя на траектории раздвижки при различных давлениях в полости сильфонного баллона.

Ключевые слова: шаровая мельница, пусковой ток, реечное устройство, сильфонный баллон, 3-х камерный, сильфон, вспомогательный привод.

Kіріспе

Ауыр роторлы технологиялық машиналарды іске қосу проблемалары белгілі, бұл электр қозғалтқыштарының істен шығуына, жетек элементтерінің шамадан тыс жүктелуіне, іске қосу кезінде, ұзақ аялдамаларда және т. б. тыныштық үйкеліс күштерін және қажеттілігіне байланысты тірек қондырғыларының тозуының жоғарылауына әкелетін үлкен іске қосу токтары [1, 2].

Бұл бағыттағы зерттеулердің өзектілігі кен ұнтақтайтын шар дірмендерінің іске қосу режимдерін оңтайланырудан және үлкен моменті бар түпнұсқа қосалқы құрылғыларды пайдаланудан тұрады, бұл іске қосу режимдерінде ауыр роторлы жабдықтың негізгі штаттық жетек құрылғыларына жүктемені айтартықтай азайтуға мүмкіндік береді, бұл осында жабдықты пайдаланудың энергия тиімділігіне әкеледі [3-5].

Бұл мәселені шешу үшін сильфон және сына пневмо-камералары негізінде іске қосу-көмекші жетектердің нұсқалары әзірленді [6, 7], олар арнағы әзірленген стендтерде сынау кезінде тиімділігін растады. Иске қосу токтары сәйкесінше 30% және 40% төмендеді, бірақ құрылымдық жағынан бұл жетек нұсқалары өте күрделі болды.

Зерттеу әдістемесі

Казіргі уақытта біз 2021 жылы КР патенті алынған рейкалы механизмді пайдалана отырып, іске қосу құрылғысының

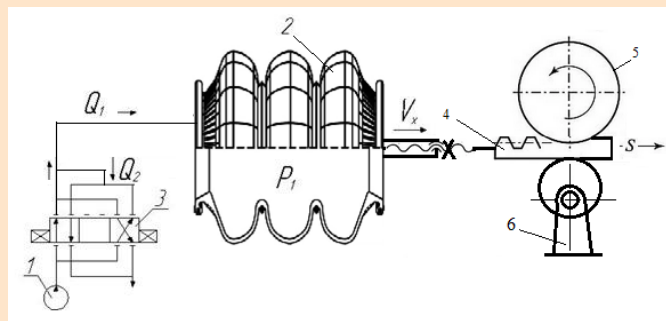
нұсқасына келдік [8]. Бірақ бұл шешімді жүзеге асыру үшін бізге максималды жылжымалы сильфонды пневмобаллондар қажет болды. Біздің қолымызда бар екі камералы сильфонды пневмобаллондар максимум 100-10 мм берді, бұл жеткіліксіз болды [9]. Нәтижесінде біз диаметрі 300 мм үш камералы сильфонды пневмобаллондарға 280 мм жылжымалы жүріспен шықтық. Сильфонды пневмобаллон негізінде типтік пневматикалық жетектің есептік схемасы 1-суретте көрсетілген.

Рейкалы типті пневматикалық көмекші іске қосу құрылғысының (ПКІҚ) параметрлерін зерттеуге арналған стенд [10] рамадан тұрады, оның соңында пневматикалық басқару блогы бар секциялық тороидальды цилиндр орнатылған (2-сурет), біз оны рейканың қозғалысын басқару блогы деп атадық.

Цилиндрдің алдыңғы қақпағында оған дәнекерленген реттелетін тірек блогы және қайтару механизмінің тірек жеңі бар кронштейн бекітілген. Раманың ортағы боллігінде тісті тәжді орналастыру аймағында (жетекті жартылай муфтада) 1 рельсті көтеру блогы 4 (3-сурет) 2 баллонды сырғыту кезінде 3 тәж тістерімен ілініске енгізу және бастапқы қалыпта оралу кезінде түсіру үшін орнатылған.

Алдын ала талдау және зерттеулер пневматикалық баллондарды барабан дірмендерінің ипневматикалық көмекші іске қосу құрылғыларының (ПКІҚ) алдыңғы нұсқаларының қуат элементтері ретінде қолдану мүмкіндігін көрсетті. ПКІҚ 0,4-0,5 МПа қысымға есептелді, яғни цехтың пневматикалық желілеріндегі жұмыс қысымы.

Горные машины



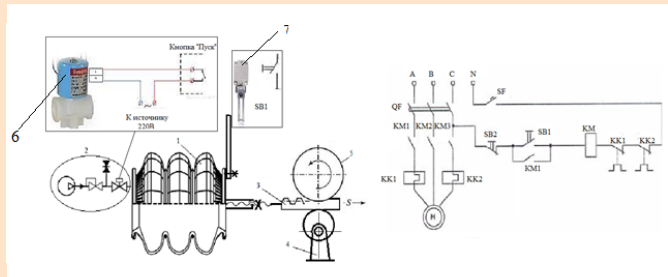
Сурет 1. Сильфонды пневмобаллон базасындағы пневможектік есептік сұлбасы.

Figure 1. The design scheme of the pneumatic actuator based on a bellows pneumatic cylinder.

Рис. 1. Расчетная схема пневмопривода на базе сильфонного пневмобаллона.

Тірек механизмдерінің айрықша ерекшелігі-олар әртүрлі мақсаттағы станоктар мен машиналардың жұмыс бөліктерінің трансляциялық қозғалыстарының мөлшерін өзгертуге мүмкіндік береді және өте кең диапазонда және дәл.

ПКІҚҚ басқару үшін автоматты режимде жұмыс істеуге мүмкіндік беретін басқару блогы жасалды (4-сурет).



1 – үш камералы сильфонды баллон; 2 – ауаны берудің басқару блоги; 3 – рейка; 4 – рейканы ілінісуға келтіретін эксцентрикті механизмі; 5 – жетекші тісті дөңгелек; 6 – электромагнитті клапан; 7 – іске қосқыш.

Сурет 4. Рейкалы жетекті басқарудың сұлбасы.

Figure 4. Schematic diagram of rack and pinion drive control.

Рис. 4. Принципиальная схема управления реечным приводом.

Жүйе келесідей жұмыс істейді:

- пневматикалық магистральдан немесе компрессорлық қондырғының ресиверінен ауа 2 ауа беруді басқару блогына беріледі, онда ол пневматикалық редукторда белгіленген шегіне дейін төмендейді және электромагниттік клапанмен бекітіледі;

- «Бастау» батырмасын басқан кезде электромагниттік клапан 6 ашылады, сығылған ауа сильфон құзына енеді. Соңғысы сырғанау кезінде тірек блогы барабан білігінің мойнына бекітілген жетек муфтасын айналдырады.

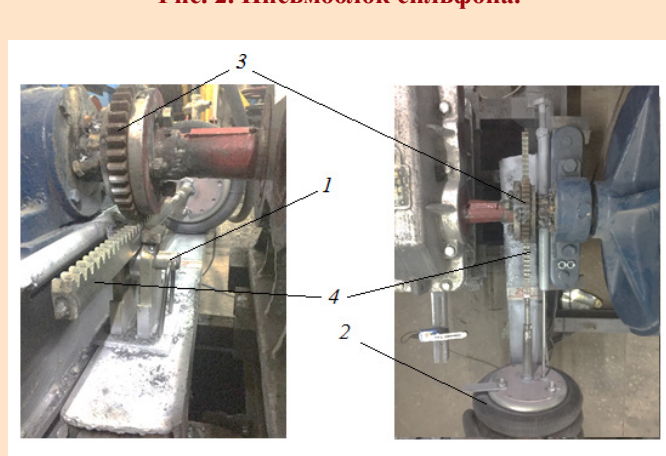
- сильфонның алдыңғы үшінша, соңғы қосқышқа 7 бекітілген аялдамага жеткенде, соңғысы негізгі электр қозғалтқышының іске қосу релеінің тізбегін жабады, осылайша барабанның айналуын бастайды. Тісті рейка кейіннен жылжытқанда, тәждіді тістері тіссіз рельс аймагына енеді. Бұл позициядагы «бастау» батырмасы босатылуы керек, осылайша сильфонға ауа беруді тоқтатады. Иске қосу тогын өлишеу аяқталған кезде дірменнің жұмысын негізгі жетектік басқару тақтасындағы «тоқтату» батырмасы тоқтатуы мүмкін (керек).

Тісті рейкалы жетек жартылай муфтасының тәжі ілінісінен шығару дірмен барабанының айналуын толық тоқтатқаннан және электр тізбегін токтан ажыратқаннан кейін фана жүзеге асырылуы мүмкін. Рейканы іліністен шығару үшін эксцентрлік механизмнің білігін 1800-ге бұрыу жеткілікті. Осыдан кейін сильфоннан шыққан ауаны 8-клапан арқылы шығаруға болады, газ тірегі (пневматикалық тосқауыл) сильфонды бастапқы күйіне қайтарады.

Сурет 2. Сильфонның пневматикалық блогі.

Figure 2. Pneumatic Bellows Block.

Рис. 2. Пневмоблок сильфона.



Сурет 3. Рейканы котеру және түсіру блогы.

Figure 3. Rail lifting and lowering unit.

Рис. 3. Блок подъема и опускания рейки.

Нәтижелер және оларды талқылау

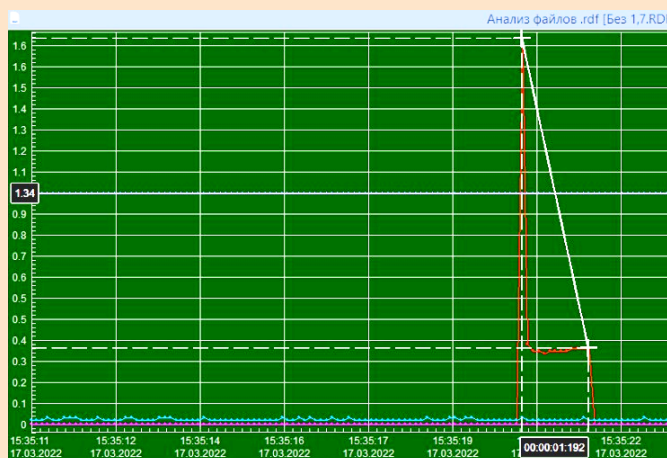
Тірек типті ПКІҚК динамикалық сипаттамаларын анықтау бойынша бірқатар эксперименттік зерттеулер жүргізілді (түсініктемелері бар ағымдағы диаграммалар).

Стендтік сынақ бағдарламасына екі кезең енгізілді: біріншісінде – соңғы ажыратқыштың орналасу нүктесінің іске қосу тогының мөлшеріне әсері, екіншісінде – оның жүйедегі қысымға тәуелділігі зерттелді.

Бірінші кезең бойынша эксперименттерді жүзеге асыру үшін импульстік итергіштік басқару тақтасында соңғы Ажыратқышты жылжымалы инсульттің ортасынан 20 мм қадаммен жылжыту мүмкіндігі қарастырылған. Бірқатар эксперименттер 0,3 МПа қысыммен жүргізілді. Иске қосу тогының максималды төмендеуі жылжымалы инсульттің екінші жартысында – 270-тен 350 мм-ге дейін соңғы қосқышты орнату кезінде орын алғаны анықталды.

Сынқтардың екінші кезеңі қысыммен 0,1 МПа қадаммен және жылжу барысымен өзгерді.

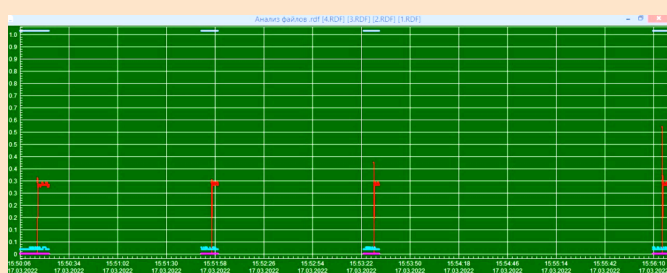
Иске қосу тогын өлшеу деректері:



Сурет 5. Иске қосу құрылғысын қоспай (макс иске қосу тогы $I_u = 9\text{A}$, номиналды ток $I_n = 3\text{A}$).

Figure 5. Without turning on the starting device (max starting current $I_u = 9\text{A}$, rated current $I_n = 3\text{A}$).

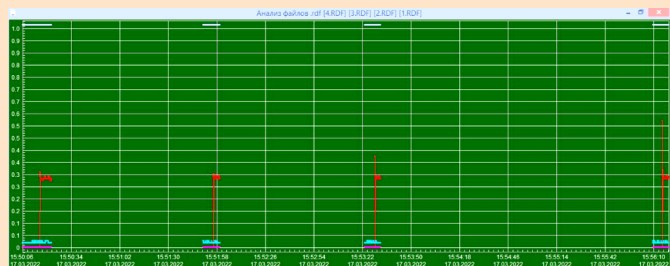
Рис. 5. Без включения пускового устройства (макс пусковой ток $I_u = 9\text{A}$, номинальный ток $I_n = 3\text{A}$).



Сурет 6. 290 мм жылжыту және 0,4-0,1 МПа қысым кезінде иске қосу токтары.

Figure 6. Starting currents at a sliding stroke of 290 mm and a pressure of 0.4-0.1 MPa.

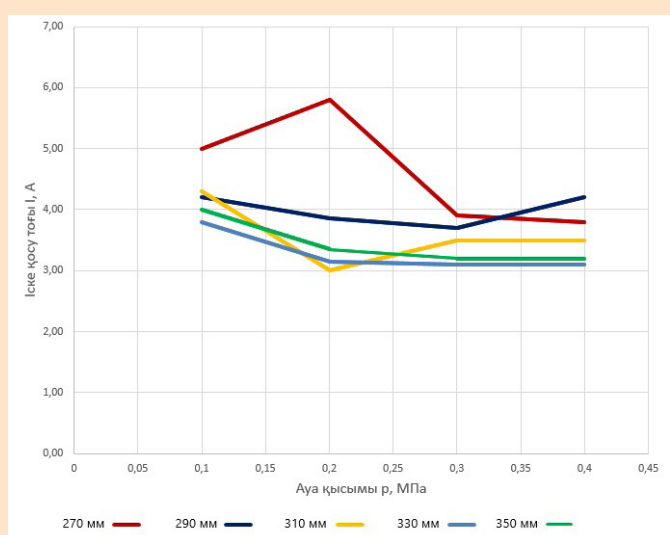
Рис. 6. Пусковые токи при ходе раздвижки 290 мм и давлении 0,4-0,1 МПа.



Сурет 7. 310 мм жылжыту және қысым 0,4-0,1 МПа болғанда іске қосу токтары.

Figure 7. Starting currents during sliding 310 mm, pressure 0.4-0.1 MPa.

Рис. 7. Пусковые токи при ходе раздвижки 310 мм, давлении 0,4-0,1 МПа.



Сурет 8. Пневмобаллон жетегінің пневматикалық жүйесіндегі қысымнан іске қосу токтардың өзгеруінің біркітілген кестесі.

Figure 8. Combined schedule of changes in starting currents from pressure in the pneumatic system of the pneumatic cylinder drive.

Рис. 8. Совмещенный график изменения пусковых токов от давления в пневмосистеме пневмобаллонного привода.

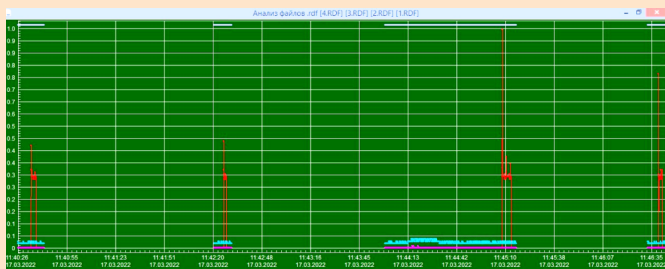
Сынақ нәтижелері бойынша келесі қорытынды жасауга болады: іске қосу тогының максималды төмендеуін қамтамасыз ету үшін сильфонды сырғытудың ең онтайлы жүрісі 290-310 мм диапазонындағы максималды және орташа жылжымалы жүрістер арасындағы аралықтың ортасы деп санауга болады.

290-310 мм диапазонындағы жылжымалы траекториядағы іске қосу нүктесін нақтылау үшін 0,1 МПа-дан 0,4 МПа-ға дейінгі қысымның өзгеру қадамымен бірқатар эксперименттер жүргізілді (9-10 суреттер).

Жүйедегі жұмыс қысымы 0,35-0,40 МПа диапазонында болатындықтан, графикте 0,4 МПа-да алынған деректерді ұсынумен шектелді (11-сурет).

Dep/6 көрсеткіштері бойынша $F(p)$ графигін салды (сурет 12), яғни 0,20 МПа-дан 0,40 МПа-ға дейінгі қысыммен өзгереді. Бұл ретте қысым 0,35 МПа-дан жоғары көтерілген кезде итеру күші іс жүзінде өзгермейтініне назар аударды.

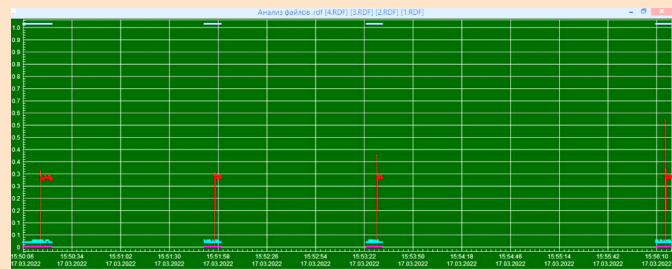
Горные машины



Сурет 9. 290 мм жылжуы және 0,1-0,4 МПа-дан қысымдағы іске қосу тогы.

Figure 9. Starting currents at a sliding stroke of 290 mm and a pressure of 0.1-0.4 MPa

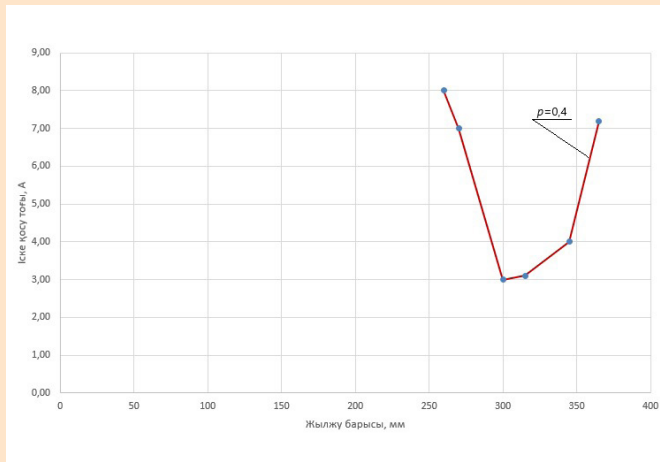
Рис. 9. Пусковые токи при ходе раздвижки 290 мм и давлении от 0,1-0,4 МПа.



Сурет 10. 310 мм жылжуы және 0,1-0,4 МПа-дан қысымдағы іске қосу тогы.

Figure 10. Starting currents during sliding are 310 mm and pressure from 0.1-0.4 MPa.

Рис. 10. Пусковые токи при ходе раздвижки 310 мм и давлении от 0,1-0,4 МПа.



Сурет 11. 0,4 МПа қысым кезінде жылжымалы жүріс мөлшерінен іске қосу тоқтардың өзгеруінің біріктірілген кестесі.

Figure 11. A combined graph of the change in starting currents from the magnitude of the sliding stroke at a pressure of 0.4 MPa.

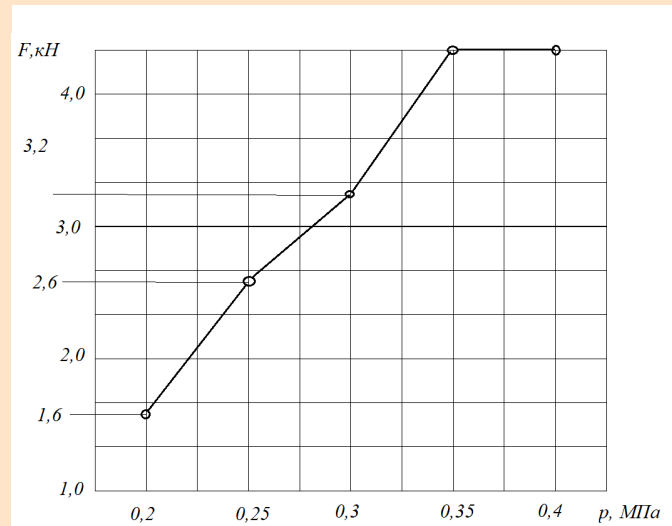
Рис. 11. Совмещенный график изменения пусковых токов от величины хода раздвижки при давлении 0,4 МПа.

Қорытынды

Сынақ нәтижелері бойынша келесі қорытындылар жасауга болады:

- іске қосу тогының максималды төмендеуін қамтамасыз ету үшін сильфонды сырғытудың ең оңтайтын жүргісін стендтегі сильфон баллонын сынау кезінде алынған 260-280 мм интервал емес, 300-320 мм интервал деп санауда болады, өйткені иннерциялық компоненттің жұмысы есеп етеді;

- іске қосу жүйесінің тиімділігін арттыру үшін пневматикалық жүйеде қысымды жоғарылату керек, согұрлым жақсы (бірақ цехтың пневматикалық желілеріндегі қысым әдетте 0,3-0,35 МПа-дан аспайды, ал сильфон цилиндрлері таx-тен 0,8 МПа-га есептелген.);



Сурет 12. $F(p)$ тәуелділігі.

Figure 12. Dependence $F(p)$.

Рис. 12. Зависимость $F(p)$.

- сильфондардың диаметрін ұлғайтуға болады, бірақ мұнда да 500 мм шегі бар;

- цилиндрлерден сызылған ауаны қолдану арқылы қысымды арттыру;

- моторлы жартылай муфтаға тісті доңғалақтың диаметрін ұлғайту.

Ұсынылған іске қосу жүйесі өзінің тиімділігі мен қарпайымдылығын сындарлы түрде көрсетті, яғни оны практикаға енгізу түрғысынан өте қызықты болуы мүмкін.

Алғыс

Зерттеу Қазақстан Республикасы Білім және гылым министрлігінің қаржылық қолдауымен BR18574141 «Қазақстан өнеркәсібі үшін энергетика және машина жасауда энергия тиімділігін арттыру және ресурстарды үнемдеу бойынша кешенді көп маңызды бағдарлама» аясында жүзеге асырылды.

ПАЙДАЛАНЫЛҒАН ӘДЕБИЕТТЕР ТІЗІМІ

1. Альшуллер М.И. Жогары вольтты айнымалы ток қозғалтқыштары үшін жұмсақ іске қосу жүйесін әзірлеу және енгізу тәжірибесі. // Экспозиция Мұнай Газ. 2009. Б. 32-36 (орыс тілінде)
2. Alfred R. Қалақ түріндегі жартылай айналымды жетектерді пайдаланатын тиімділігі жогары пневматикалық жетек жүйесі. // Электроника және энергетика. 2021. Т. 34. №3. Б. 415-433 (ағылышын тілінде)
3. Крупник Л.А. Пневмобаллондар базасындағы тыныш жүретін жетек. / Л.А. Крупник, К.К. Елемесов, Б.С. Бейсенов, Е.Е. Сарыбаев. // Қазақстанның тау-кен журналы. 2018. №10. Б. 40-43 (орыс тілінде)
4. Хайруллаев Д.Х., Бейсенов Б.С., Сарыбаев Е.Е. Барабан дайрмендерінің қосалқы жетегі ретінде үзік (қадамдық) қозғалыс циклі бар пневмобаллон жетегінің параметрлерін әзірлеу және зерттеу. // «Сәтбаев оқулагары – 2021» халықаралық ғылыми-практикалық конференциясының еңбектері. – Т. 1. – Б. 1230-1233 (орыс тілінде)
5. Łukasz Magdziak, Ireneusz Malujda, Dominik Wilczyński, Dominik Wojtkowiak. Манипулятор жетегі ретінде пневматикалық жетекті позициялауды жақсарту тұжырымдамасы. // «Машиналық модельдеу 2016» XXI халықаралық словак-польск конференциясы. Инженеринг үрдісі, 2017. – №177. – Б. 331-338 (ағылышын тілінде)
6. Фрикционлық-басып озу муфтасы бар пневматикалық қозғалтқыш: ҚР инновациялық патенті №34086; өтін. 20.06.2018; жариял. 27.12.2019. Бюлл. №52, 4 б. (орыс тілінде)
7. Ілгермелі-қайтарымды әсерлі пневматикалық жетек: ҚР инновациялық патенті РК №32347; өтін. 18.12.2015; жариял. 31.08.2017. Бюлл. №16, 4 б. (орыс тілінде)
8. Қырылдақты жетек: ҚР инновациялық патенті №31421; өтін. 13.03.2015; жариял. 15.08.2016. Бюлл. №9, 5 б. (орыс тілінде)
9. Krupnik L. Баяю жүрісті жетекті механизмдер үшін пневматикалық сильфондарды пайдалану. / Krupnik L., Yelemessov K., Beisenov B., Baskanbayeva D., Sarybaev E. // Халықаралық ғылыми және инженерлік зерттеулер журналы. 2018. Т. 9. Шығ. 11. Б. 1106-1112 (ағылышын тілінде)
10. Бейсенов Б.С. Ауыр роторлы технологиялық машиналардың іске қосу токтарына сильфонды цилиндрлер негізіндең тірек-тісті іске қосу құрылғысының әсерін зерттеу. / Б.С. Бейсенов, Е.Е. Сарыбаев, К.К. Елемесов, Р.З. Тағауова. // Қазақстанның тау-кен журналы. 2023. №9. Б.56-60 (орыс тілінде)

REFERENCES

1. Altshuller M.I. Opyt po razrabotke i vnedreniju sistem plavnogo puska vysokovol'tnyh jeklektrodvigatelej peremennogo toka. // Jekspozicija Neft' Gaz. 2009. S. 32-36 [Altshuller M.I. Experience in the development and implementation of soft start systems for high-voltage AC motors. // Exposition Oil Gas. 2009. P. 32-36] (in Russian)
2. Alfred Rufer. A high efficiency pneumatic drive system using vane-type semi-rotary actuators. // Electronics and Energetics. 2021. Vol. 34. №3. P. 415-433 (in English)
3. Krupnik L.A. Tihohodnyj privod na baze pnevmoballonov. / L.A. Krupnik, K.K. Yelemesov, B.S. Beisenov, E.E. Sarybaev. // Gornyj zhurnal Kazahstana. 2018. №10. S. 40-43 [Krupnik L.A. Low-speed drive based on pneumatic cylinders / L.A. Krupnik, K.K. Yelemesov, B.S. Beisenov, E.E. Sarybaev. // Mining Journal of Kazakhstan. 2018. №10. P. 40-43] (in Russian)
4. Hajrullaev D.H., Bejsenov B.S., Sarybaev E.E. Razrabotka i issledovanie parametrov pnevmoballonnogo privoda s preryvistym (poshagovym) ciklom dvizhenija v kachestve vspomogatel'nogo privoda barabannyh mel'nic. // Trudy Mezhdun. nauchn.-prakt. konf. «Satpaevskie chteniya – 2021». Т. 1. – S. 1230-1233 [Hajrullaev D.H., Bejsenov B.S., Sarybaev E.E. Development and research of parameters of a pneumatic cylinder drive with an intermittent (step by-step) cycle of movement as an auxiliary drive of drum mills. // Proceedings of the International Scientific and Practical Conference «Satpayev readings – 2021». – Vol. 1. – P. 1230-1233] (in Russian)
5. Lukasz Magdziak, Ireneusz Malujda, Dominik Wilczyński, Dominik Wojtkowiak. Concept of improving positioning of pneumatic drive as drive of manipulator. // XXI International Slovak-Polish Conference «Machine Modeling and Simulations 2016». Engineering process, 2017. – №177. – P. 331-338 (in English)
6. Pnevmodvigatel's friktsionno-obgonnoi mustoi: Innovatsionnyi patent RK №34086; zayavl. 20.06.2018; opubl. 27.12.2019. Byull. №52, 4 s. [Innovative patent of the Republic of Kazakhstan №34086; statement 20.06.2018; published 27.12.2019. Bulletin №52, 4 p.] (in Russian)
7. Pnevmaticheskii privod vozvratno-postupatel'nogo deistviya: Innovatsionnyi patent RK №32347; zayavl. 18.12.2015; opubl. 31.08.2017. Byull. №16, 4 s. [Innovative patent of the Republic of Kazakhstan №32347; statement 18.12.2015; published 31.08.2017. Bulletin №16, 4 p.] (in Russian)
8. Khrapovoi privod: Innovatsionnyi patent RK №31421; zayavl. 13.03.2015; opubl. 15.08.2016. Byull. №9, 5 s. [Ratchet drive: Innovative patent of the Republic of Kazakhstan №31421; statement 13.03.2015; published 15.08.2016. Bulletin №9, 5 p.] (in Russian)
9. Krupnik L. Use of air bellows for low-speed drive mechanisms. / Krupnik L., Yelemessov K., Beisenov B., Baskanbayeva D., Sarybaev E. // International Journal of Scientific & Engineering Research. 2018. Vol. 9(11). P. 1106-1112 (in English)

Горные машины

10. Beisenov B.S. Issledovanie vlijanija reechnogo puskovogo ustrojstva na baze sil'fonnyh ballonov na puskovye toki tehnologicheskikh mashins tjazhelym rotorom. / B.S. Beisenov, E.E. Sarybaev, K.K. Elemesov, R.Z. Tagauova. // Gornyi zhurnal Kazakhstana. 2023. №9. S.56-60 [Beisenov B.S. Study of the influence of a rack-and-pinion starting device based on bellows cylinders on the starting currents of technological machines with a heavy rotor. / B.S. Beisenov, E.E. Sarybaev, K.K. Elemesov, R.Z. Tagauova. // Mining Journal of Kazakhstan. 2023. №9. P.56-60] (in Russian)

СПИСОК ИСПОЛЬЗОВАННЫХ ИСТОЧНИКОВ

1. Альтшуллер М.И. Опыт по разработке и внедрению систем плавного пуска высоковольтных электродвигателей переменного тока. // Экспозиция Нефть Газ. 2009. С. 32-36 (на русском языке)
2. Alfred R. Высокоэффективная пневматическая приводная система, использующая полуоборотные приводы лопастного типа. // Электроника и энергетика. 2021. Т. 34. №3. С. 415-433 (на английском языке)
3. Крупник Л.А. Тихоходный привод на базе пневмобаллонов. / Л.А. Крупник, К.К. Елемесов, Б.С. Бейсенов, Е.Е. Сарыбаев. // Горный журнал Казахстана. 2018. №10. С. 40-43 (на русском языке)
4. Хайруллаев Д.Х., Бейсенов Б.С., Сарыбаев Е.Е. Разработка и исследование параметров пневмобаллонного привода с прерывистым (пошаговым) циклом движения в качестве вспомогательного привода барабанных мельниц. // Труды междунар. науч.-практ. конф. «Сатпаевские чтения – 2021». – Т. 1. – С. 1230-1233 (на русском языке)
5. Łukasz Magdziak, Ireneusz Malujda, Dominik Wilczyński, Dominik Wojtkowiak. Концепция улучшения позиционирования пневмопривода в качестве привода манипулятора. // XXI Международная словацко-польская конференция «Машинное моделирование 2016». Процесс инжиниринга, 2017. – №177. – С. 331-338 (на английском языке)
6. Пневмодвигатель с фрикционно-обгонной муфтой: Инновационный патент РК №34086; заявл. 20.06.2018; опубл. 27.12.2019. Бюлл. №52, 4 с. (на русском языке)
7. Пневматический привод возвратно-поступательного действия: Инновационный патент РК №32347; заявл. 18.12.2015; опубл. 31.08.2017. Бюлл. №16, 4 с. (на русском языке)
8. Храповой привод: Инновационный патент РК №31421; заявл. 13.03.2015; опубл. 15.08.2016. Бюлл. №9, 5 с. (на русском языке)
9. Krupnik L. Использование пневматических сильфонов для тихоходных приводных механизмов. / Krupnik L., Yelemessov K., Beisenov B., Baskanbayeva D., Sarybaev E. // Международный журнал научных и инженерных исследований. 2018. Т. 9. Вып. 11. С. 1106-1112 (на английском языке)
10. Бейсенов Б.С. Исследование влияния реечного пускового устройства на базе сильфонных баллонов на пусковые токи технологических машин с тяжелым ротором. / Б.С. Бейсенов, Е.Е. Сарыбаев, К.К. Елемесов, Р.З. Тагауова. // Горный журнал Казахстана. 2023. №9. С.56-60 (на русском языке)

Авторлар туралы мәліметтер:

Бейсенов Б.С., т.ф.к., «Технологиялық машиналар және жабдықтар» кафедрасының қауымдастырылған профессоры, Satbayev University (Алматы қ., Қазақстан), b.beisenov@satbayev.university; <https://orcid.org/0000-0002-6501-6746>

Елемесов К.К., т.ф.к., профессор, Энергетика және машинажасау институтының директоры, Satbayev University (Алматы қ., Қазақстан), k.yelemessov@satbayev.university; <https://orcid.org/0000-0001-6168-2787>

Бортебаев С.А., т.ф.к., «Технологиялық машиналар және жабдықтар» кафедрасының қауымдастырылған профессоры, Satbayev University (Алматы қ., Қазақстан), s.bortebayev@satbayev.university; <https://orcid.org/0000-0002-8761-3429>

Сарыбаев Е.Е., «Машиналар мен жабдықтардың цифрлық инженериясы» ОБ постдокторанты, «Технологиялық машиналар және жабдықтар» кафедрасының аға оқытушысы, Satbayev University (Алматы қ., Қазақстан), sarybaev.erjan@gmail.com; <https://orcid.org/0000-0001-6665-4558>

Information about the authors:

Beisenov B.S., Ph.D., Associate Professor of the Department of Technological Machines and equipment, Satbayev University (Almaty, Kazakhstan)

Yelemessov K.K., Ph.D., Professor, Director of the Institute of Energy and Mechanical Engineering, Satbayev University (Almaty, Kazakhstan)

Bortebayev S.A., Ph.D, Associate Professor of the Department of Technological Machines and equipment, Satbayev University (Almaty, Kazakhstan)

Sarybayev Ye.Ye., postdoctoral student of the EP «Digital Engineering of Machines and Equipment», Senior Lecturer of the Department of «Technological Machines and equipment», Satbayev University (Almaty, Kazakhstan)

Сведения об авторах:

Бейсенов Б.С., к.т.н., Ассоциированный профессор кафедры «Технологические машины и оборудование», Satbayev University (г. Алматы, Казахстан)

Елемесов К.К., к.т.н., профессор, Директор Института Энергетики и машиностроения, Satbayev University (г. Алматы, Казахстан)

Бортебаев С.А., к.т.н., Ассоциированный профессор кафедры «Технологические машины и оборудование», Satbayev University (г. Алматы, Казахстан)

Сарыбаев Е.Е., постдокторант ОП «Цифровая инженерия машин и оборудования», старший преподаватель кафедры «Технологические машины и оборудование», Satbayev University (г. Алматы, Казахстан)